

УДК 548.0:515.511

Б.Г. Мицик, Я.П. Кость, Н.М. Дем'янишин  
Фізико-механічний інститут НАН України**ФОТОПРУЖНІСТЬ КРИСТАЛІВ ФОСФІДУ ГАЛІЮ**

Ї Мицик Б.Г., Кость Я.П., Дем'янишин Н.М., 2012

B.G. Mytsyk, Ya. P. Kost', N.M. Demyanyshyn

**PHOTOELASTICITY OF GALLIUM PHOSPHIDE CRYSTALS**

© Mytsyk B.G., Kost'Ya. P., Demyanyshyn N.M., 2012

Для кристалів фосфіду галію (GaP) на основі п'єзооптичних коефіцієнтів  $\pi_{im}$  розраховані пружнооптичні коефіцієнти  $p_{in}$  і коефіцієнт акустооптичної якості  $M_2$ . Значення  $M_2$  кристалів фосфіду галію більш ніж на порядок перевищує  $M_2$  модельного акустооптичного матеріалу ніобату літію. Отримано співвідношення для вказівних поверхонь пружнооптичного ефекту, на основі яких побудовано відповідні поверхні і знайдено кутові координати їх екстремумів. Максимальна величина  $M_2$ , визначена на основі максимуму пружнооптичної поверхні, переважає коефіцієнт  $M_2$  для найбільшого значення пружнооптичного коефіцієнта (0,23) на 70%.

*Ключові слова: пружнооптичні коефіцієнти, коефіцієнт акустооптичної якості, вказівна поверхня, температурна стабільність, фосфід галію.*

For gallium phosphide (GaP) crystals the elasto-optic coefficients  $p_{in}$  and the acousto-optic figure of merit  $M_2$  were calculated based on the piezo-optic coefficients  $\pi_{im}$ . Value of  $M_2$  for gallium phosphide crystals is more than an order of magnitude higher than  $M_2$  for the model acousto-optic material of lithium niobate. The relation for the indicative surfaces of elasto-optic effect were obtained based on which corresponding surface were built and angular coordinates of extrema were found as well. The maximum value of  $M_2$  that defined based on the maximum elasto-optic surface were dominated coefficient  $M_2$  for the largest value of the elasto-optic coefficient (0.23) by 70%.

*Key words: elasto-optic coefficients, acousto-optic figure of merit, indicative surface, temperature stability, gallium phosphide.*

**Вступ**

Фосфід галію входить до складу важливого класу напівпровідників (клас симетрії  $\bar{4}3m$ ), що знайшли широке застосування як матеріали для електроніки [1]. Вирощують кристал методом Бріджмена в камері з тиском до 100 бар [1]. Дисперсійна залежність показника заломлення вивчена в [2]. Показник заломлення  $n$  визначено у спектральному інтервалі 0,5–25 мкм інтерференційним методом, а в інтервалі 0,54–1,7 мкм – методом призми. Для довжини світлової хвилі  $\lambda = 632,8$  нм показник заломлення становить  $n = 3,313$  (при температурі  $T = 290$  К).

У [3, 4] вивчені фотопружні властивості кристалів GaP. Визначені пружнооптичні коефіцієнти  $p_{in}$  ( $p_{11} = -0,151$ ,  $p_{12} = -0,082$ ,  $p_{44} = -0,074$ ) і коефіцієнти акустооптичної якості  $M_2$  для двох швидкостей звукових хвиль ( $V_{L[110]} = 6,32 \times 10^3$  м/с,  $V_{S[100]} = 4,13 \times 10^3$  м/с). Відповідні значення  $M_2$  становлять  $44,6 \times 10^{-15}$  с<sup>3</sup>/кг і  $24,1 \times 10^{-15}$  с<sup>3</sup>/кг. Оскільки за нашими оцінками значення фотопружних параметрів GaP істотно перевищують подані вище значення, то в цій роботі досліджено фотопруж-

ність кристалів GaP з врахуванням: 1) непаралельності граней реального зразка; 2) внеску пружності; 3) додаткових геометрій експерименту, що підтверджують достовірність результатів; 4) аналізу анізотропії вказівних поверхонь п'єзо- і пружнооптичних ефектів (ПОЕ) і (ПрОЕ). Методи вивчення фотопружності кристалів відповідно до сформульованих пунктів детально описані в [5–8].

Незважаючи на те, що точне визначення п'єзооптичних коефіцієнтів (ПОК) має самостійне значення під час розрахунку параметрів п'єзооптичних пристроїв [9], для застосувань в акустооптиці важливою є інформація про пружнооптичні коефіцієнти (ПрОК). Тому метою роботи є розрахунок пружно- і акустооптичних характеристик в кристалах фосфіду галію як перспективних матеріалів для акустооптичної модуляції світла.

### Пружнооптичні коефіцієнти і акустооптична якість

Для визначення пружнооптичних коефіцієнтів  $p_{in}$  використаємо значення абсолютних ПОК  $\pi_{im}$  із [6] і формули взаємозв'язку між коефіцієнтами  $p_{in}$  і  $\pi_{im}$ . Із загального виразу  $p_{in} = \pi_{im} C_{mn}$  [10] ( $C_{mn}$  – коефіцієнти пружної жорсткості) для кристалів, що належать до класу симетрії  $\bar{4}3m$  (GaP), отримаємо:

$$\begin{aligned} p_{11} &= \pi_{11} C_{11} + 2\pi_{12} C_{12}, \\ p_{12} &= \pi_{11} C_{12} + \pi_{12} (C_{11} + C_{12}), \\ p_{44} &= \pi_{44} C_{44}. \end{aligned} \quad (1)$$

Підставляючи в (1) значення  $\pi_{11} = -1.44 \pm 0.11$  (7,0 %);  $\pi_{12} = -0.19 \pm 0.03$  (15,8 %);  $\pi_{44} = -1.36 \pm 0.12$  (8,8%), усе в од.  $10^{-12}$  м<sup>2</sup>/Н, із [6] і значення  $C_{11} = 14,12$ ;  $C_{12} = 6,253$ ;  $C_{44} = 7,047$ , усе в од.  $10^{10}$  Н/м<sup>2</sup>, із [11], знайдемо:

$$\begin{aligned} p_{11} &= -0,23 \pm 0,02 \text{ (8,7 \%)}, \\ p_{12} &= -0,13 \pm 0,01 \text{ (7,7 \%)}, \\ p_{44} &= -0,10 \pm 0,01 \text{ (10 \%)}. \end{aligned} \quad (2)$$

Розрахунок похибок коефіцієнтів  $p_{in}$  виконаний на основі співвідношення для середньоквадратичної похибки:  $\Delta(\pi_{im} C_{mn}) = [(\Delta\pi_{im})^2 (C_{mn})^2 + (\pi_{im})^2 (\Delta C_{mn})^2]^{1/2}$ . Похибки  $\Delta C_{mn}$  взяті як 5% від величини  $C_{mn}$ . Відзначимо, що у [11] коефіцієнти  $C_{mn}$  визначені з меншими похибками. Однак такий недолік статичного експерименту, на основі якого визначено ПОК  $\pi_{im}$  [6], як нерівномірність механічного напруження на зразку (5%) виправдовує використання коефіцієнтів  $C_{mn}$  з похибками 5%.

Акустооптичну (АО) якість кристалів GaP встановлено на основі коефіцієнта АО-якості  $M_2$  [12]:  $M_2 = n^6 p^2 / (\rho V^3)$ , де  $n$  – показник заломлення,  $p$  – пружнооптичний коефіцієнт,  $\rho$  – густина кристала,  $V$  – швидкість акустичної хвилі.

Розрахуємо  $M_2$  для поздовжньої ультразвукової хвилі, швидкість якої  $V_{L[110]} = 6,32 \times 10^3$  м/с [13]. Для цього визначимо величину ефективного пружнооптичного коефіцієнта у разі поширення і поляризації звукової хвилі в напрямку [110] і поляризації світла в тому ж напрямку. Цей напрям відповідає осі  $X'$  системи координат, повернутої навколо осі  $Z$  на кут  $45^\circ$  (рис. 1). Відповідно до закону перетворення компонент тензора четвертого рангу при переході до нової (штрихованої) системи координат [14, 15]

$$p'_{ijkl} = \alpha_{im} \alpha_{jn} \alpha_{kp} \alpha_{lo} p_{mnop}$$

(тут  $\alpha_{im}, \dots, \alpha_{lo}$  – напрямні косинуси кутів між осями старої і нової систем координат) для поздовжньої компоненти  $p'_{1111}$  тензора пружнооптичних коефіцієнтів у штрихованій системі координат отримаємо (з переходом до матричної форми [14] запису компонент тензора ПрОК):

$$p'_{1111} = p'_{11} = 1/2 (p_{11} + p_{12}) + p_{44}, \quad (3)$$

де  $p_{11}, p_{12}, p_{44}$  – компоненти тензора ПрОК в старій (кристалофізичній) системі координат.

Скориставшись значеннями  $p_{in}$  із (2) і співвідношенням (3), знаходимо ефективний коефіцієнт  $p'_{11}$ :  $p'_{11} = -0,280 \pm 0,015$  (5,4%). Підставимо це значення  $p'_{11}$ , густину кристалів GaP ( $\rho = 4,3 \times 10^3$

кг/м<sup>3</sup> [13]), а також значення швидкості  $V_{L[110]}$  та показника заломлення у вираз для визначення  $M_2$ . У результаті отримаємо  $M_2 = 95,5 \times 10^{-15}$  с<sup>3</sup>/кг, що більше ніж у два рази перевищує значення  $M_2$ , визначене в [3, 4]. Така різниця обумовлена, переважно, більшими коефіцієнтами  $p_{11}$  і  $p_{12}$  (2) порівняно із  $p_{11}$ ,  $p_{12}$ , визначеними в [3, 4] (див. вступ).

Звернемо увагу на те, що отримана величина  $M_2$  майже в 14 разів перевищує  $M_2$  модельного АО-матеріалу ніобату літію [4].

Розрахуємо також  $M_2$  для зсувної хвилі, що поширюється в напрямку [100] зі швидкістю  $V_{S[100]} = 4,13 \times 10^3$  м/с [13]. У цьому разі ефективність взаємодії акустичної та світлової (із довільною поляризацією) хвиль обумовлена пружнооптичним коефіцієнтом  $p_{44}$  (2). Підставивши значення  $V_{S[100]}$  і  $p_{44}$  у вираз для  $M_2$ , отримаємо:  $M_2 = 43,6 \times 10^{-15}$  с<sup>3</sup>/кг. Це значення теж істотно (майже в два рази) перевищує відповідну величину  $M_2$ , наведену в [3, 4, 13].

Отже, АО-якість досліджених кристалів GaP приблизно в два рази перевищують АО-якість кристалів GaP, вивчених в [3, 4]. Ці відмінності, а також відмінності коефіцієнтів  $\pi_{im}$  і  $p_{in}$  можна пояснити двома причинами: 1) великою похибкою визначення ПОК і ПрОК у роботах [3, 4] (на жаль, в цих роботах не вказані похибки вивчення ПОЕ і ПрОЕ); 2) залежністю фізичних властивостей кристалів GaP від особливостей технології їх вирощування. Друга причина видається вагомішою, тому що багато фізичних властивостей фосфіду галію істотно залежать від умов їх вирощування [13].

У таблиці наведено ПрОК відомих акустооптичних матеріалів. Бачимо, що як за величиною конкретних ПрОК, так і за сумою головних коефіцієнтів  $p_{in}$  ( $i, n = 1, 2, 3$ ) перевагу має фосфід галію, а коефіцієнт  $p_{11}$  для GaP має найбільше абсолютне значення. Неголовний коефіцієнт  $p_{44}$  фосфіду галію є співмірний з відповідним  $p_{in}$  інших кристалів, внесених в таблицю.

### ПрОК різних акустооптичних матеріалів

$p_{in}$	$p_{11}$	$p_{12}$	$p_{13}$	$p_{31}$	$p_{33}$	$\Sigma  p_{in} $	$p_{14}$	$p_{41}$	$p_{44}$
GaP	-0,23	-0,13	-0,13	-0,13	-0,23	0,85	–	–	-0,10
LiNbO <sub>3</sub>	-0,021	0,060	0,172	0,141	0,118	0,512	-0,052	-0,109	0,121
LiNbO <sub>3</sub> :MgO	-0,015	0,058	0,174	0,155	0,154	0,556	-0,044	-0,149	0,136
La <sub>3</sub> Ga <sub>5</sub> SiO <sub>14</sub>	0,012	0,026	0,072	0,084	-0,191	0,385	0,013	0,033	0,028

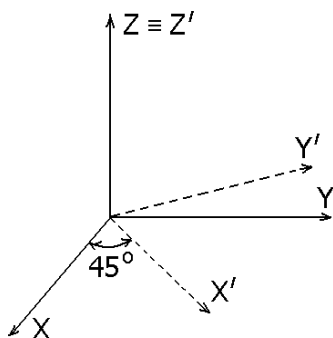


Рис. 1. Кристалофізична  $X, Y, Z$  і повернута навколо осі  $Z$  на кут  $45^\circ$  штрихована системи координат

### Анізотропія пружнооптичного ефекту

Найбільш повно анізотропію фізичної властивості в просторі відображає його вказівна поверхня (ВП), яка математично тотожна закону перетворення цієї фізичної властивості при переході від старої системи координат до нової [7, 8, 14, 15]. В [7, 8] запропонована функція  $\delta n(\theta, \varphi)$ , що описує зміну показника заломлення  $\delta n$  у будь-якому просторовому напрямку  $(\theta, \varphi)$  залежно від напрямку  $(\beta, \alpha)$  дії одновісного тиску. Аналогічно записується функція  $\delta n(\theta, \varphi)$  залежно від напрямку  $(\beta, \alpha)$  деформації  $\epsilon$ . Ця функція для кубічних кристалів матиме вигляд:

$$-\frac{2}{\epsilon(\beta, \alpha)n^3} \delta n(\theta, \varphi) = p'_{in} = [p_{11}(\sin^2 \beta \sin^2 \theta (\cos^2 \varphi \cos^2 \alpha + \sin^2 \varphi \sin^2 \alpha) + \cos^2 \beta \cos^2 \theta) + p_{12}(\sin^2 \beta \sin^2 \theta (\cos^2 \varphi \sin^2 \alpha + \sin^2 \varphi \cos^2 \alpha) + \cos^2 \beta \sin^2 \theta + \sin^2 \beta \cos^2 \theta) + p_{44}(\sin 2\beta \sin 2\theta \cos(\alpha - \varphi) + \sin^2 \beta \sin^2 \theta \sin 2\alpha \sin 2\varphi)], \quad (4)$$

Отримане співвідношення для ВП ПрОЕ є подібне до співвідношення для ВП ПОЕ з врахуванням таких умов:  $\pi_{im} = 2\pi_{ijkl}$  (при  $m = 4, 5, 6$ ), а  $p_{in} = p_{iff}$  при будь-яких значеннях індексів.

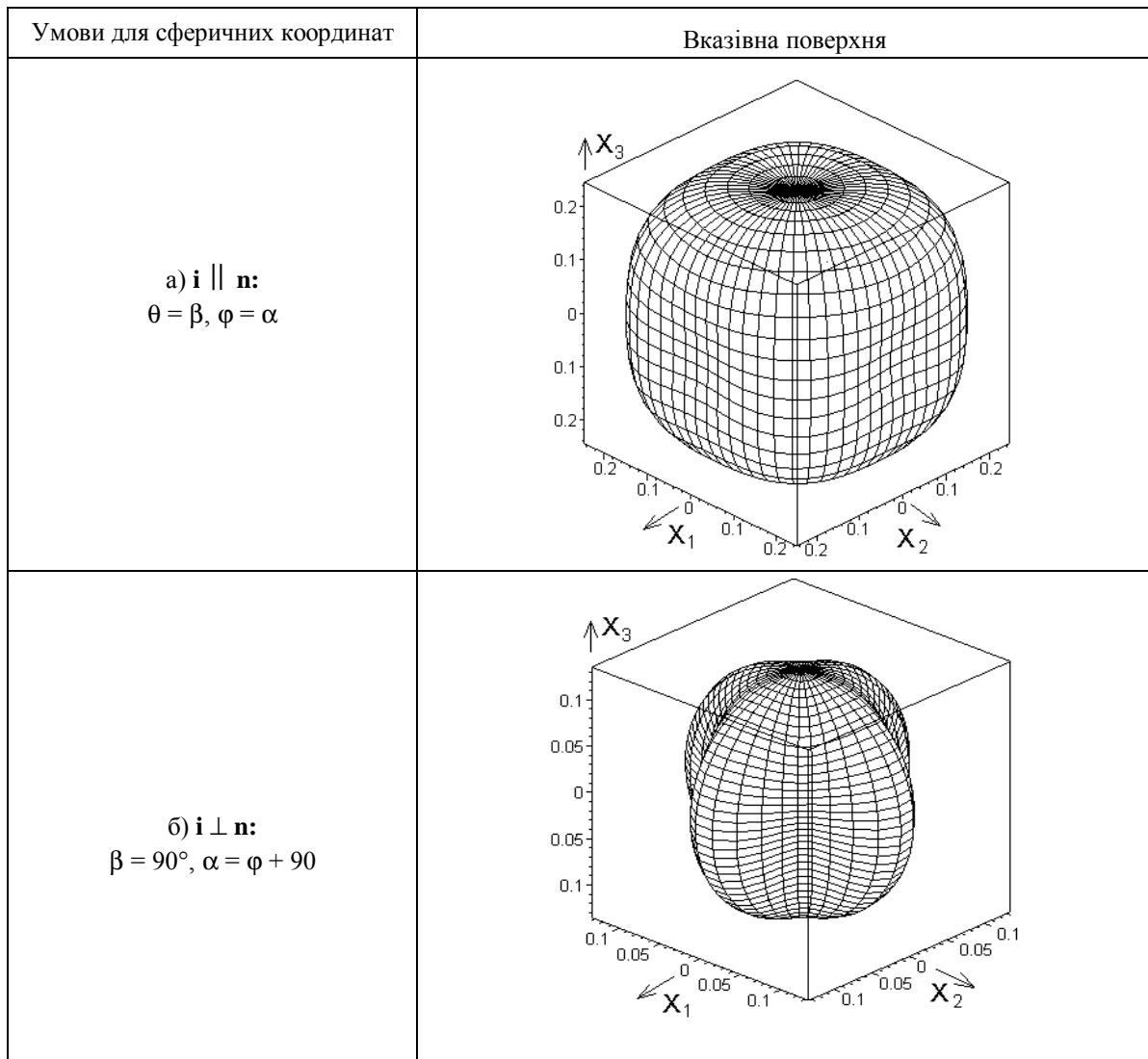


Рис. 2. Приклади вказівних поверхонь ПрОЕ кристалів GaP

Для того, щоб записати співвідношення, які дозволяють побудувати ВП пружнооптичного ефекту, необхідно підставити в (4) умови, які пов'язують напрям поляризації світла ( $\theta, \varphi$ ) з напрямком деформації ( $\beta, \alpha$ ). Запишемо рівняння вказівної поверхні для поздовжнього ПрОЕ, коли  $\mathbf{i} \parallel \mathbf{n}$  ( $\mathbf{n}$  – напрямок деформації, на який вказує другий індекс при коефіцієнті  $p_{in}$ ). Тоді кути  $\theta, \varphi$  пов'язані із кутами  $\beta, \alpha$  рівностями  $\theta = \beta, \varphi = \alpha$ . Підставляючи ці рівності в (4), одержуємо:

$$p'_{11}(\theta, \varphi) = p_{11}(\sin^4 \theta (\cos^4 \varphi + \sin^4 \varphi) + \cos^4 \theta) + 2p_{12}(\sin^4 \theta \sin^2 \varphi \cos^2 \varphi + \sin^2 \theta \cos^2 \theta) + p_{44}(\sin^2 2\theta + \sin^4 \theta \sin^2 2\varphi). \quad (5)$$

Для побудови поверхні (5), див. рис. 2 (а) використані значення ПрОК  $p_{in}$  із (2). Максимальне значення поздовжнього ПрОЕ  $p'_{11}(\theta, \varphi) = -0,30$  відповідає кутам  $\theta = 54,6^\circ$ ,  $\varphi = 45^\circ \pm k \cdot 90^\circ$ , де  $k = 0, 1, 2, 3$ .

Запишемо рівняння ВП для поперечного ПрОЕ, коли напрямки поляризації світла і деформації взаємно перпендикулярні ( $\mathbf{i} \perp \mathbf{n}$ ). Цій умові відповідають сферичні координати  $\beta = 90^\circ$ ,  $\alpha = \varphi + 90^\circ$ . Підставивши вказані значення  $\beta$  і  $\alpha$  у (4), одержуємо рівняння поверхні поперечного ПрОЕ:

$$p'_{12} = 2p_{11} \sin^2 \theta \sin^2 \varphi \cos^2 \varphi + p_{12} (\sin^2 \theta (\cos^4 \varphi + \sin^4 \varphi) + \cos^2 \theta) - p_{44} \sin^2 \theta \sin^2 2\theta. \quad (6)$$

Максимальний поперечний пружнооптичний ефект ( $p'_{12} = -0,13$ ) цієї поверхні (рис. 2 (б)) існує для довільних кутів  $\theta$  при  $\varphi = 0^\circ \pm k \cdot 90^\circ$ ,  $k = 0, 1, 2, 3$ . Тобто в площинах, перпендикулярних напрямкам, які задаються вказаними кутами  $\varphi$ , поверхня (6) має кругові перерізи.

Якщо максимальне значення  $p'_{11}(\theta, \varphi)$  підставити у вираз для визначення коефіцієнта АО-якості  $M_2$ , то отримаємо:  $M_2 = 109,5 \times 10^{-15} \text{ c}^3/\text{кг}$ . Ця величина  $M_2$ , визначена на основі максимуму ВП, переважає коефіцієнт  $M_2$  для найбільшого значення ПрОК (0,23) на 70%. Тобто вивчення анізотропії ПрОЕ шляхом побудови поверхонь просторового розподілу ПрОЕ та аналіз цих поверхонь на екстремальні значення дозволяють знайти кутові умови ( $\alpha, \beta, \theta, \varphi$ ), яким відповідає максимальний ПрОЕ і, відповідно, максимальна акустооптична ефективність кристалів.

### Температурна стабільність ПОЕ в кристалах GaP

Для оцінки температурної стабільності пружно- та акустооптичних ефектів у кристалах фосфіду галію високоточним методом, запропонованим в [16], встановлено температурні залежності ПОК різниці ходу  $\pi_{km}^0$ .

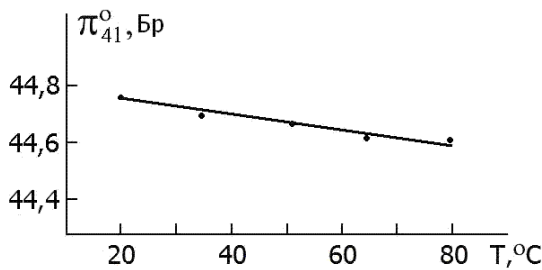


Рис. 3. Приклад температурної залежності ПОК різниці ходу для кристалів GaP

$\pi_{km}^0(T)$  не перевищують 0,5%. Це пов'язано з тим, що зразок в установці не перемонтовують, тому не змінюються точка падіння променя на зразок та неоднорідність механічного напруження в об'ємі зразка.

Підкреслимо, що за температурною стабільністю ПОЕ фосфід галію переважає кристали  $\text{La}_3\text{Ga}_5\text{SiO}_{14}$  у  $\sim 2$  рази, а  $\text{LiNbO}_3$  [16] аж у  $\sim 4$  рази. Температурна залежність коефіцієнтів пружної жорсткості є також незначна [17]: в інтервалі температур 5–300 K пружний коефіцієнт  $C_{11}$  зменшується на 1,7%,  $C_{12}$  – на 1,9% і  $C_{44}$  – на 1,6% відповідно. Зважаючи на високу температурну стабільність п'єзооптичних і пружних характеристик фосфіду галію, слід очікувати таку ж високу стабільність ПрОК та коефіцієнта акустооптичної якості  $M_2$ .

### Висновки

Розглянуто ПрОЕ кристалів фосфіду галію, що належать до класу симетрії  $\bar{4}3m$ . На основі абсолютних ПОК  $\pi_{in}$  розраховані пружнооптичні коефіцієнти  $p_{in}$  і коефіцієнт акустооптичної якості

$M_2$  для двох геометрій взаємодії акустичної та оптичної хвиль. Проведено порівняння пружнооптичних коефіцієнтів з відомими акустооптичними матеріалами. Максимальний коефіцієнт акустооптичної якості  $M_2$  кристалів GaP більш ніж на порядок перевищує відповідне значення  $M_2$  для модельного АО-матеріалу ніобату літію.

Одержано аналітичні вирази для вказівних поверхонь ПрОЕ, які описують просторову анізотропію пружнооптичного ефекту. На основі заповненої матриці ПрОК кристалів GaP побудовано відповідні поверхні і знайдено кутові параметри просторової орієнтації максимумів ПрОЕ відносно кристалофізичних осей. Показано, що найбільше значення ПрОЕ для кристалів GaP досягає величини  $-0,30$  при азимутальному та радіальному кутах  $54,6^\circ$  та  $45^\circ \pm k \cdot 90^\circ$  відповідно ( $k = 0, 1, 2, 3$ ). Описана методика аналізу просторової анізотропії ПрОЕ дозволяє підвищити ефективність акустооптичних комірок. Висока температурна стабільність ПОК і коефіцієнтів пружної жорсткості кристалів фосфіду галію свідчить про таку ж стабільність його пружнооптичних і акустооптичних характеристик.

1. Govida Rajan K., Chandra Shekar N. V., Rao G. V. N., et al. // *Bull. Mater. Sci.* – 1988. – 11. – P.269-275. 2. Yas'kov D. A., Pikhtin A. N. // *Mat. Res. Bull.* – 1969. – 4. – P.781–788. 3. Canal F., Grimsditch M., Cardona M. // *Solid State Commun.* – 1979. – 29. – P.523–526. 4. Dixon R. W. // *J. Appl. Phys.* – 1967. – 38. – P.5149–5153. 5. Mytsyk B.G., Andrushchak A.S., Demyanyshyn N.M., Kost' Ya.P. et al. // *Appl. Opt.* – 2009. – 48. – P.1904–1911. 6. Mytsyk B.G., Andrushchak A.S. and Kost' Ya.P. // *Crystallography Reports.* – 2012. – 57. – P.124–130. 7. Дем'янишин Н. М., Мицик Б. Г., Калиняк Б. М. // *УФЖ.* – 2005. – 50. – С.521–526. 8. Мыцык Б. Г., Демьянишин Н. М. // *Кристаллография.* – 2006. – 51. – С.696–703. 9. А. с. 1204979 СССР. / М. И. Ермохин, В. А. Ширяев (СССР); опубл. 1986, Бюл. № 2. 10. Нарасимхамурти Т.С. *Фотоупругие и электрооптические свойства кристаллов.* – М., 1984. 11. Polian A., Grimsditch M. // *Phys. Rev. B.* – 1999. – 60. – P.1468–1470. 12. Балакиши В.И., Парыгин В.Н., Чирков Л. Е. *Физические основы акустооптики.* – М., 1985. 13. *Акустические кристаллы. Справочник / Под ред. М.П.Шаскольской.* – М., 1982. 14. Най Дж. *Физические свойства кристаллов.* – М., 1967. 15. Сиротин Ю. И., Шаскольская М.П. *Основы кристаллофизики.* – М., 1979. 16. Мицик Б. Г., Андрущак А. С., Кость Я. П., Сольський І. М. // *Журн. фіз. досл.* – 2008. – 12. – С.3702-5. 17. Boyle W. F., Sladek R. J. // *Phys. Rev. B.* – 1975. – 11. – P.2933–2940.